

II-84 波動による底砂の運動

防衛大学校 正員 真嶋恭雄 正員 沢内正章。正員 宮村利幸

序論 本研究は床部を構成する砂(底砂)が波動によって床部边缘に生ずる水平往復流(底流)のみの影響でいかに底砂運動をするかを実験的に調べ検討したものである。

実験装置および方法 造波水路は Ballistic Pendulum 型造波機を用いて天井高さ 0.6m、幅さ 0.8m、長さ 21.6m の水路で水路中央床部には 1 区画が $(0.07m)^2$ の 50 ヶの区画を示した。底砂には相模川産の川砂を用い、これを 5 種の粒径に分類した。実験は各粒径毎、上記床部上に一層としきつめ、水深、周期を変えて行い、上記区画中、底砂が 1 ケ以上動いていた区画数を数え、同時にその時の波を測定した。運動底砂量を定量的に表わすために、底砂運動相対度数 P を考案した。

$$P = \frac{1 \text{ ケ以上} \text{ の底砂が動く区画数}}{\text{全区画数}} \times \frac{(\text{粒径})^2}{\text{1 区画面積}}$$

底面表面では底流から剪断力が作用し、従来(1)式の如く表わされてい。 $T = \rho \alpha u^2 \dots (1)$: 剪断力
 ρ : 底流流速, α : 黑次元定数²⁾, u : 底流流速
 いま、(1)式の α に微小振幅理論による床部における分子子の最大水平分速度の値を代入し、底砂を粒径 d の球と仮定すれば、底砂 1 ケが作用する剪断力は(2)式の如くなる。³⁾

$$T = \rho \alpha \frac{\pi^2 H^2}{4 T^2 \sinh^2 k h} \times \frac{\pi^2 d^2}{4} \dots (2)$$

: : K , H : 波高, T : 周期

岸壁砂を用いて実測し、 $\alpha = 0.00252$ を用いた。³⁾一方、底砂が作用する拘束力については、通常、底砂の静止摩擦力が考案され(3)式で表わされている。

$$R = \pi g d^3 \rho (S - 1) g \tan \phi \dots (3)$$

R : 底砂 1 ケの静止摩擦力, S : 底砂比重, $\tan \phi$: 底砂の中中における静止摩擦係数を示す。

結果および考察 図 1 および図 2 は本実験に使用した波、および底砂の特性値を示す。いま(2)式の $\alpha = 0.00252$ を代入して、実測データーについて P と剪断力、拘束力の比 T/R との相関を調べて図 2 の如くなる。³⁾

$$\frac{T}{R} = 0.00378 \frac{1}{(S-1)g d \tan \phi} \times \frac{\pi^2 H^2}{4 T^2 \sinh^2 k h} \dots (4)$$

2 の図から明らかのように、運動底砂量を表わす P と、剪断力、

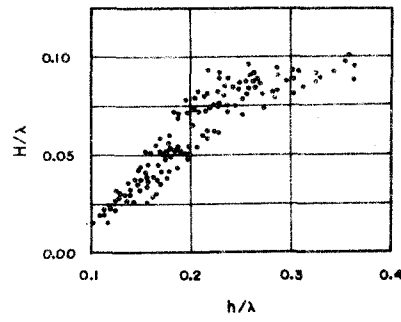


図 1

Diameter (mm)	Specific gravity	Friction coef. in water
0.59-1.19	2.69	0.983
1.19-1.68	2.69	1.050
1.68-2.00	2.68	1.063
2.00-2.38	2.68	1.195
2.38-4.78	2.68	1.171

表 1

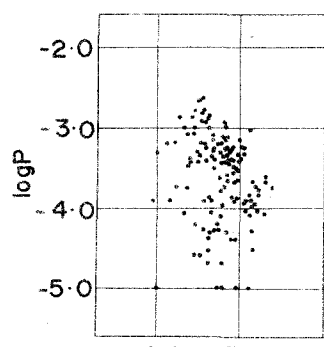


図 2

拘束力の比 T/R との相関は必ずしもよくない。そこで底砂は底流よりその全表面にわたり、剪断力のみならず動水圧も受けたと考え、又底砂の運動機構は水平往復運動ではなくて、前後方向の回転運動である事を考え、セーメントの釣合から底砂の運動を考えてみる。有限振幅理論によれば、任意水深 H における水分子の水平分速度は(5)式で与えられる。

$$u = \frac{1}{2} c k r \coth k z \cos k(x - ct) + \frac{1}{4} c k^2 r^2 (1 + \coth^2 k z) \cos^2 k(x - ct) + \frac{1}{32} c k^3 r^3 \{\coth^3 k z + \frac{3}{2} \coth k z\} \cos 3k(x - ct) + \dots \quad (5)$$

ここで $r = H \sinh k z / \sinh kh$ 。剪断力によるモーメント M_s 、動水圧によるモーメント M_d とすれば、底砂の受けた全モーメント M は、 $M = M_s + M_d$ となる。

$$M_s = A \int_0^H \rho u^2 \cos \phi ds \cdot z \quad \dots \quad (6)$$

$$M_d = B \int_0^H \frac{1}{2} \rho u^2 ds \cdot z \quad \dots \quad (7)$$

は、それぞれ係数、 ϕ ：底砂表面積。
(6), (7)式の u に(5)式を代入して、 R^2 以上の項を無視し、半周期を平均すれば、

$$M_s = 2APd^3 \left\{ \frac{\pi^2 H^2}{4T^2 \sinh^2 kh} + \frac{4T^2 H^3}{3T^2 L \sinh^3 kh} \right\}$$

$$M_d = \frac{1}{8} B T P d^2 \left\{ \frac{\pi^2 H^2}{4T^2 \sinh^2 kh} + \frac{4T^2 H^3}{3T^2 L \sinh^3 kh} \right\} \quad \text{従って}$$

$$M = P d^3 \left\{ \frac{\pi^2 H^2}{4T^2 \sinh^2 kh} + \frac{4T^2 H^3}{3T^2 L \sinh^3 kh} \right\} (2A + \frac{1}{8} BD) \quad \dots \quad (8)$$

一方、底砂は運動開始時、各接触点で静止摩擦力を比例した拘束力を受けると仮定すれば、拘束力によるモーメント M_f は

$$M_f = C \frac{8}{3} \rho d^3 (S-1) g \cdot \tan \phi \cdot 2d \quad \dots \quad (9)$$

す。 (8), (9)式より M_f を導けば(10)式を得る。

$$\frac{M_f}{M} = K \left\{ \frac{\pi^2 H^2}{4T^2 \sinh^2 kh} + \frac{4T^2 H^3}{3T^2 L \sinh^3 kh} \right\} / (S-1) g d \tan \phi \quad \dots \quad (10)$$

は、比例係数です。いま、ある底流により第1作の値がある値を達成し、その結果、底砂は平行運動を開始したと見て、 $K = 1$ とおき、無数を算出する。

この K と底流流速および底砂径を考慮してレイノルズ数 Re との相関を調べてみると図3の如くになり、両者の間にには、あきらかに相関関係がみつかる。すなわち

$$\log K = 2.448 \log Re - 2.805 \quad \dots \quad (11)$$

(11)式の K を(10)式に代入して計算した M_f と P の相関を調べると図4の如くになり、底流の作用による底砂の運動をかなりよく説明できる。即ち(11)式において K はある一定値をもつ定数ではなくて、底流流速および底砂径に關係する係数を考慮される。

文献 1), 2) 日高孝次：海洋物理学(2) p. 82~83

3), 4) 佐藤清一、岸力：漂砂に関する研究(2) 土木研究所報告第85号の6

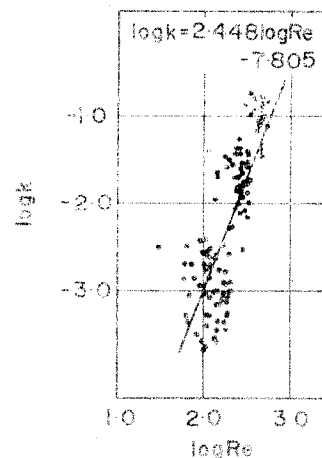
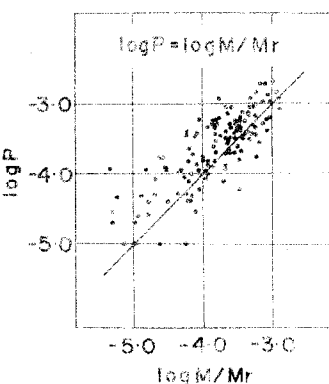


図 3



図